

ความแตกต่างทางพันธุกรรมในผึ้งป่องไทย *Apis cerana*

โดยใช้ความแปรผันของไมโครแซทเกลไลท์และนิวเคลียร์โอมิกส์ล่าร์ เอ็นเอจีน



นางสาว สุกัค 戴上อรุณ

วิทยานิพนธ์นี้เป็นส่วนหนึ่งของการศึกษาตามหลักสูตรปริญญาวิทยาศาสตรมหาบัณฑิต

สาขาวิชาชีวเคมี ภาควิชาชีวเคมี

บัณฑิตวิทยาลัย จุฬาลงกรณ์มหาวิทยาลัย

ปีการศึกษา 2541

ISBN 974-332-184-5

ลิขสิทธิ์ของบัณฑิตวิทยาลัย จุฬาลงกรณ์มหาวิทยาลัย

GENETIC DIFFERENTIATION AMONG THAI HONEYBEES *Apis cerana*
USING MICROSATELLITE VARIATION AND
NUCLEAR RIBOSOMAL RNA GENES

MISS SUPAK LAOAROON

**A Thesis Submitted in Partial Fulfillment of the Requirements
for the Degree of Master of Science in Biochemistry**

Department of Biochemistry

Graduate School

Chulalongkorn University

Academic Year 1998

ISBN 974-332-184-5

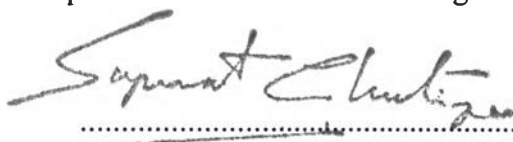
Thesis Title Genetic differentiation among Thai honeybees *Apis cerana* using
 microsatellite variation and nuclear ribosomal RNA genes

By Miss Supak Laoaroon

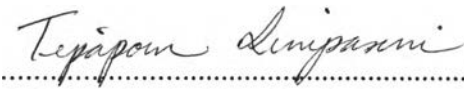
Department Biochemistry

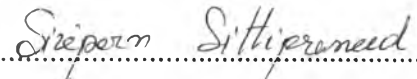
Thesis Advisor Associate Professor Siriporn Sittipraneed, Ph.D.

Accepted by the Graduate School, Chulalongkorn University in Partial
Fulfillment of the Requirements for the Master's Degree


..... Dean of Graduate School
(Professor Supawat Chutivongse, M.D.)

Thesis Committee


..... Chairman
(Assistant Professor Tipaporn Limpaseni, Ph.D.)


..... Thesis Advisor
(Associate Professor Siriporn Sittipraneed, Ph.D.)


..... Member
(Professor Siriwat Wongsiri, Ph.D.)


..... Member
(Sirawut Klinbunga, Ph.D.)

สุกัค เด้อรุณ : ความแตกต่างทางพันธุกรรมในผึ้งโพรงไทย *Apis cerana* โดยใช้ความแปรผันของไมโครเซทเทลไลท์ และนิวเคลียร์โรบโซมลาร์เจ็นเจ็น (Genetic differentiation among Thai honeybees *Apis cerana* using microsatellite variation and nuclear ribosomal RNA genes) อ.ที่ปรึกษา : ดร.ศรีพร สิทธิประภิต ; 107 หน้า. ISBN 974-332-184-5.

ได้ตรวจสอบระดับความแตกต่างทางพันธุกรรมและโครงสร้างประชากรของผึ้งโพรง *A. cerana* ในประเทศไทย จากบริเวณ 5 พื้นที่ทางภูมิศาสตร์ คือ ภาคเหนือ ภาคกลาง ภาคตะวันออกเฉียงเหนือ ภาคใต้ และภาคสมุย โดยการใช้ลำดับเบสในบริเวณเทอร์โนลดทรานส์ไซรบสเปเชอร์ (ITS) ของนิวเคลียร์โรบโซมลาร์เจ็นเจ็น (nrDNA) และความแปรผันของ microsatellite DNA การศึกษาลำดับเบสของ ITS ที่เพิ่มปริมาณโดย PCR จากผึ้งโพรง 21 ตัวอย่าง พบว่ามี G และ C เป็นองค์ประกอบเท่ากัน 52.1% และลำดับเบสเมื่อความแตกต่างกันน้อย มี point mutation เกิดขึ้นเพียง 4 ตำแหน่ง โดยเป็น transversion 1 ตำแหน่ง และ transition 3 ตำแหน่ง จากข้อมูลของ point mutation ที่เกิดขึ้นในบริเวณ ITS สามารถแบ่งผึ้งโพรงได้เป็น กลุ่มทางตอนเหนือ (ภาคเหนือ ภาคกลาง และ ภาคตะวันออกเฉียงเหนือ) กลุ่มภาคใต้ และกลุ่มภาคสมุย

การวิเคราะห์ด้วย microsatellite DNA ในตัวอย่าง 265 ตัว ครอบคลุม 5 พื้นที่ภูมิศาสตร์ทั่วประเทศ โดยใช้ microsatellite primer ของ *A. mellifera* 13 ชุด พบร่วมตำแหน่งของ microsatellite A28, A107 และ A113 มีความหลากหลาย โดยมีจำนวนอัลลีล (allele) ต่อตำแหน่ง เป็น 24, 10 และ 3 อัลลีล ตามลำดับ มีค่าเนย์โทโรไซโกรซิตี้ (Heterozygosity) เฉลี่ยอยู่ในช่วง 0.18 ถึง 0.46 การวิเคราะห์ geographic heterogeneity และนำมาแสดงความสัมพันธ์ในเชิงวิจัยการ โดยใช้วิธีของ Neighbor - joining สามารถแบ่งกลุ่มผึ้งโพรงในประเทศไทยออกเป็น 3 กลุ่มคือ กลุ่มตอนเหนือ (ภาคเหนือ ภาคกลาง และ ภาคตะวันออกเฉียงเหนือ) กลุ่มภาคใต้ และกลุ่มภาคสมุย

ภาควิชา ชีวเคมี
สาขาวิชา ชีวเคมี
ปีการศึกษา 2541

ลายมือชื่อนิสิต สุกัค เด้อรุณ
ลายมือชื่ออาจารย์ที่ปรึกษา ดร.ศรีพร สิทธิประภิต^{ผู้สอน}
ลายมือชื่ออาจารย์ที่ปรึกษาร่วม

C826243 : MAJOR BIOCHEMISTRY

KEY WORD: honeybees / *Apis cerana* / ITS region / microsatellite / genetic variation

SUPAK LAOAROON : GENETIC DIFFERENTIATION AMONG THAI HONEYBEES
Apis cerana USING MICROSATELLITE VARIATION AND NUCLEAR RIBOSOMAL RNA GENES. THESIS ADVISOR : ASSOC. PROF. SIRIPORN SITTIPIRANEED, Ph.D.
107 pp. ISBN 974-332-184-5.

Level of genetic differentiation and populating structure of Thai honeybees *A. cerana* from five different geographic locations (North, Central, North-East, South and Samui Island) was investigated using sequencing of PCR-amplified internal transcribed spacer (ITS) region of nuclear ribosomal DNA and variation of microsatellite DNA. The GC content of amplified ITS region in *A. cerana* was 52.1%. Low sequence polymorphisms in the amplified ITS region were observed among 21 investigated sequences covering five geographic samples. Only 4 point mutations were found constituting of 1 transversion and 3 transition. Using the information on the point mutation, the origin of *A. cerana* from the Northern group (North, Central and North-East), Southern and Samui Island could be unambiguously traced.

Microsatellite DNA analysis in 5 geographic samples included 265 colonies by 13 *A. mellifera* microsatellite loci using Polymerase Chain Reaction (PCR). Three microsatellite loci (A28, A107 and A113) were shown to be polymorphic with number of alleles at each locus of 24, 10 and 3 alleles, respectively. The average heterozygosities of Thai *A. cerana* estimated from these microsatellite loci was 0.18-0.46. The analysis of geographic heterogeneity and phylogenetic reconstruction using the Neighbor - joining approach divided 5 geographic *A. cerana* samples to 3 different groups consisting of 1) Northern (North, Central and North-East), 2) South and 3)Samui Island.

ภาควิชา	Biochemistry	ลายมือชื่อนิสิต	๗๖๐๘๔
สาขาวิชา	Biochemistry	ลายมือชื่ออาจารย์ที่ปรึกษา	ดร.สัน พัฒนา
ปีการศึกษา	๒๕๔๑	ลายมือชื่ออาจารย์ที่ปรึกษาร่วม	-

ACKNOWLEDGEMENT

I would like to express my deep gratitude and appreciation to my advisor, Associate Professor Dr. Siriporn Sittipraneed for her guidance, encouragement, suggestion and discussion throughout my study.

The special thanks are also extend to Dr. Sirawut Klinbunga for this help in data computerized analysis, suggestions, discussion and serving as thesis committee.

My appreciation is also express to Assistant Professor Dr. Tipaporn Limpaseni and Professor Dr. Siriwat Wongsiri for serving on my thesis committee.

Thanks are also express to all teachers and all friends in the Department of Biochemistry and Biotechnology for their help in the laboratory and friendship.

I would like to thanks National Science an Technology Development Agency (NSTDA) for financial supports.

Finally, I wish to extend my deepest gratitude to my family and my friends for their love and understanding.

CONTENTS

	Page
THAI ABSTRACT.....	iv
ENGLISH ABSTRACT.....	v
ACKNOWLEDGEMENTS.....	vi
CONTENTS.....	vii
LIST OF TABLES.....	ix
LIST OF FIGURES.....	x
LIST OF ABBREVIATIONS	xi
CHEPTER I INTRODUCTION.....	1
CHEPTER II MATERIALS AND METHODS.....	15
2.1 Instruments.....	15
2.2 Inventory supplies.....	16
2.3 Chemicals.....	16
2.4 Oligonucleotide primers.....	17
2.5 Enzymes.....	17
2.6 Radioactive.....	18
2.7 Samples.....	18
2.8 DNA extraction.....	18
2.9 Measurement of DNA concentration.....	19
2.10 PCR amplification.....	20
2.11 Preparation of DNA template for DNA sequencing.....	23
2.12 DNA sequencing.....	25
2.13 Preparation of the polyacrylamide gel and gel electrophoresis.....	26
2.14 Autoradiography.....	27
2.15 Data analysis.....	28
CHEPTER III RESULT.....	31
3.1 DNA extraction.....	31

	Page
3.2 Optimization of MgCl ₂ concentration for amplification of the ITS region in <i>A. cerana</i>	31
3.3 Characterization of the ITS amplified product.....	34
3.4 DNA sequencing.....	34
3.5 Optimization of MgCl ₂ concentration for amplification of microsatellite loci in <i>A. cerana</i>	45
3.6 Characterization of the amplified product of eight microsatellite loci in <i>A. cerana</i>	48
3.7 Genetic variation in Thai <i>A. cerana</i>	48
CHEPTER IV DISCUSSION.....	65
CHEPTER V CONCLUSION.....	72
REFERENCES.....	73
APPENDICES.....	80
BIOGRAPHY.....	107

LIST OF TABLES

Table	Page
1.1 The imports and exports of natural honey of Thailand in 1986-1998.....	2
2.1 Primer sequences used for PCR amplification and sequencing of ITS region in <i>A. cerana</i>	21
2.2 Primer sequences and PCR conditions for the 13 <i>A. mellifera</i> microsatellite loci used to screen for polymorphic loci in <i>A. cerana</i>	24
3.1 The size of ITS amplified products of <i>A. cerana</i> from North (N), Central (C), North-East (NE), South (S) and Samui Island.....	37
3.2 PCR condition of microsatellite primer used to screen polymorphic loci in <i>A. cerana</i>	47
3.3 Allele frequencies, number of allele, observed and expected heterozygosity of Three microsatellite loci in five samples of <i>A. cerana</i> in Thailand.....	56
3.4 The number of allele per locus and heterozygosity averaged overall loci.....	58
3.5 Cavalli-Sforza and Edwards chord distance between the five geographic samples of <i>A. cerana</i> in Thailand.....	61
3.6 Geographic heterogeneity analysis of five geographic samples of <i>A. cerana</i> in Thailand	63
3.7 F-statistics for microsatellite analysis of each pair of five geographic samples of <i>A. cerana</i>	64
3.8 F-statistics for microsatellite analysis of five geographic samples of <i>A. cerana</i>	64

LIST OF FIGURES

Figure	Page
1.1 Beekeeping of <i>Apis cerana</i> in Thailand.....	3
1.2 Dotted lines indicate the approximate geographic ranges of <i>A. cerana</i> subspecies	6
1.3 Number of <i>A. cerana</i> and <i>A. mellifera</i> colonies in northern Thailand.....	8
1.4 Schematic representation of an insect ribosomal DNA repeat unit	12
3.1 High molecular weight DNA of <i>A. cerana</i> extracted from the thorax of each <i>A. cerana</i> worker	32
3.2 Optimization of MgCl ₂ concentration used for amplification of ITS region in ribosomal RNA gene of <i>A. cerana</i>	33
3.3 The ITS amplified products were electrophoresed though a 1.5% agarose gel at 120 V for 1 hours.....	36
3.4 An autoradiogram of partial ITS sequence derived from primer ITS3.....	39
3.5 Alignment of nucleotide sequences of <i>A. cerana</i> in ITS region of nuclear Ribosomal RNA gene of 21 honeybee samples using ClustalX (1.64b).....	40
3.6 The optimal MgCl ₂ concentration for microsatellite loci (A8 and A113).....	46
3.7 Microsatellite patterns of <i>A. cerana</i> individuals at locus A28.....	49
3.8 Microsatellite patterns of <i>A. cerana</i> individuals at locus A107.....	50
3.9 Microsatellite patterns of <i>A. cerana</i> individuals at locus A113.....	51
3.10 Allele frequency distributions at the microsatellite locus A28	53
3.11 Allele frequency distributions at the microsatellite locus A107	54
3.12 Allele frequency distributions at the microsatellite locus A113	55
3.13 A neighbor-joining tree illustrating relationships among 5 geographic populations of <i>A. cerana</i> in Thailand.....	62

LIST OF ABBREVIATIONS

A, T, G, C	=	nucleotide containing the base adenine, thymine, guanine and cytosine, respectively
bp	=	base pair
°C	=	degree celcius
Ci	=	curie
DNA	=	deoxyribonucleic acid
dNTPs	=	deoxyribonucleotide triphosphates(dATP, dTTP , dGTP , dCTP)
ddNTPS	=	dideoxyribonucleotide triphosphates(ddATP, ddTTP, ddGTP , ddCTP)
EDTA	=	ethylenediamine tetraacetic acid
HCl	=	hydrochloric acid
ITS	=	internal transcribed spacer
Kb	=	kilobase
KCl	=	potassium chloride
MgCl ₂	=	magnesium chloride
ml	=	millilitre
mM	=	millimolar
mtDNA	=	mitochondrial DNA
ng	=	nanogram
PCR	=	polymerase chain reaction
RFLP	=	restriction fragment length polymorphism
RNA	=	ribonucleic acid
rpm	=	revolution per minute
SDS	=	sodium dodecyl sulfate
TEMED	=	<i>N, N, N', N'</i> –tetramethylethylenediamine

Tris	=	tris (hydroxy methyl) aminomethane
UV	=	ultraviolet
v	=	volume
V	=	volt
W	=	watt
μ g	=	microgram
μ l	=	microlitre
μ M	=	micromolar